

وزارت علوم، تحقیقات و فناوری  
دانشگاه تحصیلات تکمیلی علوم پایه  
گوازنگ - زنجان



# ترابرد کوانتومی در گرافین گافدار

پایان نامهٔ کارشناسی ارشد

مجتبی رحیمی

استاد راهنما: دکتر مالک زارعیان

اردیبهشت ۱۳۸۹

بِسْمِ اللّٰهِ الرَّحْمٰنِ الرَّحِيْمِ

تَقْدِيمٌ بِهِ يُلْرُو مَادِر عَزِيزٌ

# قدرتانی و تشکر

اول سپاس خدای عزوجل را، که در این پهنه گیتی ما را نعمت وجود بخشدید و هر چه داد بی منت، جز نعمت مرگ. دوم سپاس پدر و مادر که موجب وجود گشتند و عمر گرانبهای خود را با تمام عشق به پای فرزند خود ریختند، که هر چه در حق آنان انجام دهیم ناچیز و هرگز نتوان قدردان فداکاری، گذشت و مهربانی های آن دو گوهر نایاب گیتی بود و از خداوند منان خواهان آنم که سایه‌ی پدر و مادر را همواره بر سر ما مستدام دارد، که مایه خیر و برکت برای ما خواهد بود و اما بعد مراتب سپاس و قدردانی خود را نثار معلمان و اساتیدم بالاخص استاد راهنمایم جناب آقای دکتر مالک زارعیان می کنم که مرا به عنوان شاگرد خود قبول کردند و من جزوی خلقی از ایشان هیچ ندیدم و امیدوارم در سایه ایزد منان همیشه سلامت و موفق باشند و اما بعد از دوست گرامی جناب آقای دکتر علی قربانزاده مقدم بابت تمامی بحث های علمی که با هم داشتیم و کمک های بی دریغ ایشان نهایت تشرک و سپاسگذاری را دارم و آرزوی سلامتی و موفقیت روز افزون را برای ایشان دارم. همچنین برای اعضای گروه نانو آرزوی سلامتی و عمری با برکت دارم و اما در نهایت از هم اتفاقی هاییم جناب آقای آرمان جوادی، یاسر رجبی و مجتبی چراغیان تشکر می کنم که در این مدت مرا تحمل کردند.

اگر از کسی رسیده است، بدی به ما بماند

به کسی مباد از ما، که بدی رسیده باشد

## چکیده

در گرافین بدون گاف به دلیل طیف الکترونی منحصر به فردش، رسانش الکتریکی در نقطه دیراک، یک کمینه از مرتبه  $\frac{e^2}{h}$  دارد. این موجب شده است که استفاده از این ماده در قطعات الکترونیکی به سهولت امکان پذیر نباشد. یک راه برای غلبه بر این مشکل ایجاد گاف در طیف انرژی گرافین می باشد که با شکست تقارن وارونی (تقارن زیر شبکه ها) به وجود می آید. همزمان با شکست تقارن وارونی مفهوم فاز بری و احنای بری و اثرات نا بهنجار آن در تراپرد الکترونی، در این ماده مهم می شود.

در این پایان نامه به بررسی رسانش و نووفه شلیکی در اتصال گرافین گاف دار شده می پردازیم و اثرات فاز بری را که به صورت شرط مرزی در مسئله وارد می شود، بر این دو کمیت بررسی می کنیم. نشان می دهیم که کمینه رسانش در نقطه دیراک در گرافین گاف دار کاهش می یابد و در رژیم هایی گاف مشاهده شده در رسانش بیش از گاف القا شده توسط زیر لایه می شود، که آن را گاف دینامیکی (تراپردی) می نامیم که قبل از نیز به نوعی در کارهای تجربی مشاهده شده است. در رژیم مخالف رسانش در نزدیکی گاف انرژی نوسان می کند که معادل نوسانات آهارانوف – بوهم می باشد و با افزایش پتانسیل شیمیایی و دور شدن از گاف انرژی این نوسانات از بین می رود. فاکتور فانو بر حسب ولتاژ گیت از مقدار تقریباً  $T_{\text{ونل}} \approx \frac{\pi}{L}$  به مقدار بالستیک میل می کند و مقدار آن برای ولتاژ گیت بالاتر از گاف انرژی مستقل از عرض اتصال است. در حد  $\infty \rightarrow \frac{w}{L}$  فاکتور فانو با افزایش پتانسیل شیمیایی (هنگامی که اثرات فاز بری کاهش می یابد) به مقدار 0.1 نزدیک می شود.

# فهرست

چکیده	.....	پنج
مقدمه	.....	نه
<b>۱ آشنایی با گرافین</b>		
۱.۱	.....	نایابداری در دو بعد
۲.۱	.....	ساختار هندسی و طیف الکترونی
۱.۲.۱	.....	ساختار هندسی
۲.۲.۱	.....	طیف الکترونی
۳.۱	.....	برانگیختگیهای با انرژی کم و معادله دیراک
۴.۱	.....	شرایط مرزی
۵.۱	.....	خواص یکتای الکترونی در گرافین
۱.۵.۱	.....	الکترون های کایرال دیراک
۲.۵.۱	.....	اثر کوانتمومی غیر عادی هال

۱۵	.....	۳.۵.۱ تونل زنی ذرات کایرال
۱۵	.....	تونل زنی کوانتموی
۱۶	.....	پارادوکس کلاین
۱۷	.....	۶.۱ رسانش و نوفه شلیکی
۱۷	.....	۱.۶.۱ اتصال نقطه کوانتموی و رابطه لاندائرور—بوتیکر
۲۱	.....	۲.۶.۱ نوفه تعادلی و شلیکی
۲۶	.....	۳.۶.۱ فاکتور فانو ( $f = \frac{S(\omega)}{2eI}$ )
۲۷	.....	۷.۱ رسانش و نوفه شلیکی در اتصال گرافینی

## ۲ لزوم ایجاد گاف در گرافین

۳۱	.....	۱.۲ شکست تقارن و معادله دیراک
۳۳	.....	۱.۱.۲ زیر لایه
۳۳	.....	۲.۱.۲ گرافین دولایه
۳۸	.....	۳.۱.۲ تنش
۴۲	.....	۲.۲ نوار گرافینی محدود شده
۴۵	.....	۳.۲ فاز هندسی بری
۴۵	.....	۱.۳.۲ مفاهیم اساسی فاز بری
۴۵	.....	تحول بی دررو چرخه ای
۴۸	.....	انحنای بری

۴۹ ..... ۲.۳.۲ فاز بری در نوارهای بلاخ

۵۱ ..... ۳.۳.۲ دینامیک الکترون در حضور میدان الکتریکی

۵۲ ..... سرعت نابهنجار

۵۳ ..... انحنای بری: ملاحظات تقارنی

### ۳ رسانش و نوافه شلیکی در گرافین گاف دار شده و اهمیت فاز بری

۵۵ ..... ۱.۳ حالت های الکترونی در گرافین گاف دار

۵۷ ..... ۲.۳ فاز بری و انحنای بری در گرافین گاف دار

۶۰ ..... ۳.۳ شرط مرزی بی نهایت در گرافین گاف دار

۶۲ ..... ۴.۳ ماتریس پراکندگی و دامنه احتمال عبور

۶۴ ..... ۵.۳ رسانندگی و فاکتور فانو در اتصال گرافینی گاف دار شده

۶۵ ..... ۱.۵.۲ وابستگی به عرض اتصال

۶۷ ..... ۲.۵.۳ وابستگی به ولتاژ گیت

۷۱ ..... نتیجه گیری

۷۳ ..... مراجع

## مقدمه

کربن یکی از اصلی ترین عناصر حیات است. این عنصر با عدد اتمی ۶ در گروه چهارده جدول تناوبی عناصر قرار دارد و دارای ساختار شیمیایی  $1s^2 2s^2 2p^2$  است که به دلیل قابلیت هیبریداسیون متفاوت، این عنصر، انعطاف پذیری بالایی در پیوند های اتمی دارد. به همین دلیل آلوتروپ های گوناگون با خواص کاملاً متفاوت از این عنصر در طبیعت یافت می شود. از جمله ساختار الماسی که عنصری بسیار سخت و شفاف است، ساختار گرافیت که یک ماده‌ی نسبتاً نرم و کدر است، ساختار توپی  $C_{60}$  که به صورت یک مولکول با سلول های پنج ضلعی می‌باشد که از دید فیزیکی می‌توان آن را یک شئی صفر بعدی در نظر گرفت. از دیگر آلوتروپ های کربن نانولوله های کربنی هستند [۱] که از پیچیدن تک یا چند لایه‌ی گرافین به وجود می‌آیند و از دید فیزیکی می‌توان به عنوان یک شئی یک بعدی در نظر گرفت. آلوتروپ دیگر کربن که در دهه‌ی اخیر با پیشرفت تکنولوژی، بشر موفق به ساخت آن شده است گرافین است [۲]. گرافین تک لایه‌ی گرافیت و دارای ساختار لانه زنبوری است که در آن هر اتم کربن با هیدراسیون  $sp^2$  با سه اتم مجاور خود پیوند  $\sigma$  تشکیل می‌دهد. که طول هر پیوند  $1.42A^\circ$  است. و اوربیتال P باقی مانده عمود بر صفحه‌ی گرافین پیوند  $\pi$  تشکیل می‌دهد. الکترون موجود در این اوربیتال قابلیت جهش بین همسایه‌های دارد و مسئول خواص تراپردازی در گرافین است. والاس در سال ۱۹۹۷ اولین کسی بود که مقاله‌ای در مورد ساختار نواری گرافین نوشت و رفتار شبه فلزی غیر معمول در این باره را نشان داد [۳]. یکی از مهم ترین جنبه‌های مسئله‌ی گرافین در برانگیختگی های با انرژی کم، فرمیون های بدون جرم و کایرال دیراک است که ناشی از طیف انرژی منحصر به فرد این ماده (خطی بودن در انرژی های پایین) است. این رابطه‌ی پاشندگی خاص که فقط در انرژی های پایین صادق است، رفتار های کوانتموم الکترودینامیکی (QED) فرمیون های بدون جرم دیراک را تقلید می‌کند. به جزاین که سرعت فرمیون های دیراک  $v$  در گرافین  $300$  برابر کوچک تر از سرعت نور (c) است. بنابر این بسیاری از رفتار های غیر عادی در گرافین نشان داده شده است، اما در سرعت های پایین تر از سرعت نور [۴]، [۵] و [۶]. فرمیون های QED در گرافین هنگامی که در میدان مغناطیسی قرار می‌گیرند در مقایسه با الکترون های معمولی رفتار های غیر عادی از دیراک هنگامی که در میدان مغناطیسی قرار می‌گیرند در مقایسه با الکترون های معمولی رفتار های غیر عادی از خود نشان می‌دهند که منجر به پدیده های فیزیکی جدید از جمله اثر نابهنجار کوانتمومی هال صحیح (IQHE) (IQHE) می‌شود [۷]. علاوه بر تفاوت های کیفی بین اثر نابهنجار کوانتمومی هال صحیح که در ساختار های Si و

GcAlAs دیده شده با گرافین، در گرافین این اثر را به دلیل انرژی بالای سیکلولترونی الکترون های نسبیتی در دمای اتاق نیز می توان مشاهده کرد [۹]. در حقیقت اثر نابهنجار کوانتومی هال صحیح یک نشان فرمیون های دیراک محسوب می شود.

یکی دیگر از جنبه های خاص گرافین، غیر حساس بودن فرمیون های دیراک به پتانسیل الکتروستاتیکی خارجی به دلیل پدیده ای پارادوکس کلاین است، یعنی فرمیون های دیراک می توانند با احتمال یک از ناحیه های ممنوعه کلاسیکی عبور کنند، است [۱۰] و [۱۱]. در حقیقت فرمیون های دیراک در حضور پتانسیل های محدود کننده به صورت غیر عادی رفتار می کنند که منجر به پدیده ای حرکت دوتایی (یا zitter beweguing ) توابع موج می شود [۱۰]. در گرافین این پتانسیل های الکتروستاتیکی را می توان به سادگی با بی نظمی ها و ناخالصی ها تولید کرد. چون بی نظمی ها در هر ماده ایی امری غیر قابل انکار هستند بنابراین تاثیر این بی نظمی ها بر فیزیک الکترون ها در گرافین مورد علاقه زیادی است. در حقیقت تحت شرایط خاص فرمیون های دیراک از اثرات جایگزینگی که در مورد الکترون های معمولی مشاهده شده است مصنون می مانند [۱۲] و به طور تجربی نشان داده شده است که الکترون ها می توانند بدون پراکندگی فاصله های بزرگ از مرتبه میکرومتر را طی کنند [۲]. در آزمایشات تجربی گوناگون نشان داده شده است [۸] [۱۳] که رسانندگی در گرافین هنگامی که چگالی حامل ها به سمت صفر میل می کند به یک مقدار کمینه از مرتبه کوانتوم رسانش ( $\frac{2}{\hbar}$ ) می رسد. این رسانندگی کوانتومی محدود شده یک خاصیت ذاتی فرمیون های دیراک دو بعدی می باشد که در کریستال های ایده آل، بدون هیچ گونه ناخالصی یا نقصی، دیده نمی شود. از طرف دیگر این کمینه در رسانندگی، متناظر با یک ماکریسم در فاکتور فانو می باشد. مقدار فاکتور فانو در نقطه دیراک در حد  $\gg \frac{\pi}{L}$  به مقدار جهانی آن یعنی  $\frac{1}{3}$ ، می رسد که سه برابر کوچکتر از نوفه پواسونی در اتصالات تانلینگ می باشد و برابر فاکتور فانو در یک سیستم پخشی است [۱۴] [۱۵]، علی رغم این که دینامیک الکترونی در نوار گرافینی بالستیک است [۱۶]. وجود این کمینه در رسانندگی به معنی عدم وجود ولتاژ گبی برای به صفر رساندن رسانش و در نتیجه پدیده ای سوئیچینگ که پایه ای تمام مدار های منطقی است، می شود. یک روش برای غلبه بر این مشکل وجود گاف در طیف انرژی گرافین است که به روش های مختلف امکان پذیر است. و اخیراً کارهای زیادی در این زمینه انجام شده است [۱۷، ۱۸، ۱۹، ۲۰، ۲۱، ۲۲، ۲۳، ۲۴، ۲۵، ۲۶، ۲۷]. یک راه برای ایجاد گاف شکست تقارنی وارونی (تقارن زیر شبکه ها) است. همزمان با شکست تقارن وارونی مفهوم فاز بری و انحنای بری و اثرات نابهنجار آن در ترا برد الکترونی در این ماده وارد می شود.

در سال ۱۹۸۴ مایکل بری مقاله‌ای نوشت که علاقه‌ی زیادی در شاخه‌ها ای دیگری از فیزیک شامل شیمی کوانتمومی، به وجود آورد [۲۸]. در آن مقاله در مورد تحول بی دررویک ویژه حالت وقتی پارامترهای خارجی یک سیستم کوانتمومی به آهستگی تغییر کند و در فضای پارامتریک مسیر بسته تشکیل دهد بحث شده بود. در غیاب تبھگنی وقتی مسیر بسته باشد ویژه حالت‌ها مطمئناً به مقدار اولیه‌ی خود بازمی‌گردند، اما یک اختلاف فاز برابر انتگرال زمانی انرژی (تقسیم بر  $\hbar$ ) به علاوه‌ی یک فاز اضافی که بعداً فاز بری نامیده شد می‌گیرند. فاز بری دارای سه خاصیت کلیدی است که مفهوم آن را مهم می‌سازد. اول اینکه تحت تبدیلات پیمانه ای ناورداست. دوم اینکه فاز بری یک فاز هندسی است یعنی این که می‌توان آن را به صورت انتگرال خطی روی مسیر بسته در فضای پارامتر نوشت و دقیقاً به نرخ تغییرات روی مسیر بستگی ندارد. سوم اینکه فاز بری شباهت زیادی به نظریه‌ی میدان پیمانه ای و هندسه‌ی دیفرانسیلی دارد [۲۹]. از جمله اثرات نابهنجار فاز بری وارد شدن یک سرعت نابهنجار [۳۰] در معادله‌ی سرعت گروه الکترون‌ها علاوه بر سرعت ناشی از رابطه‌ی پاشندگی طیف انرژی است که موجب به وجود آمدن اثری مانند اثر هال وادی در سیستم هایی مانند گرافین گاف دار که فاز در آنها مهم است می‌شود [۳۱].

این پایان نامه که ما در آن به بررسی ترا برد کوانتمومی در گرافین گاف دار می‌پردازیم به سه فصل تقسیم شده است. در فصل اول ابتدا به معرفی گرافین خواهیم پرداخت و با استفاده از روش بستگی قوی هامیلتونی مؤثری همان هامیلتونی دیراک در انرژی‌های کم، حاکم بر فرمیون‌ها دیراک را بدست می‌آوریم سپس به معرفی برخی از خواص یکتای گرافین می‌پردازیم در ادامه مروری بر روش پراکندگی و رابطه‌ی لاندائرور برای رسانش خواهیم داشت و بعد از آن توان طیفی و فاکتور فانو را معرفی خواهیم کرد و بعد مروری کوتاه بر رسانش و فاکتور فانو در اتصال گرافینی معمولی (بدون گاف) داریم. در فصل دوم اهمیت گاف در گرافین را شرح خواهیم داد و در ادامه انواع روش‌های ممکن برای ایجاد گاف را که تا کنون پیشنهاد یا انجام شده است را بررسی می‌کنیم و بعد از آن مروری بر تحولات بی دررو در مکانیک کوانتمومی و ظهور فاز بری و انحنای بری و اهمیت آن در دینامیک الکترونی خواهیم داشت. در فصل سوم رسانندگی و فاکتور فانو در اتصال گرافینی گاف دار شده و اثرات فاز بری را که به صورت شرط مرزی در مسئله وارد می‌کنیم براین دو کمیت فیزیکی، به عنوان موضوعی جدید مورد بررسی قرار می‌دهیم و در نهایت نتایج بدست آمده در این کار را بیان خواهیم کرد.

## فصل اول

### آشنایی با گرافین

#### ۱.۱ ناپایداری در دو بعد

گرافین با ساختار دو بعدی ماده‌ای است که از لحاظ ترمودینامیکی پایدار است و در شرایط نرمال می‌تواند وجود داشته باشد. اما تقریباً هفت دهه پیش لانداؤ<sup>۱</sup> و پیرلز<sup>۲</sup> عدم پایداری کریستالهای دو بعدی را به علت وجود افتخرازهای گرمایی، که باعث جابجایی‌های اتمی در حد فواصل بزرگتر از فاصله‌ی بین اتمی می‌شود، پیش‌بینی کرده بودند [۳۲]. مشاهدات تجربی زیادی این بحث را تقویت می‌کرد زیرا دمای ذوب فیلمهای نازک با کاهش ضخامت سریعاً کاهش می‌یابد و بنابراین فیلم در حدود دوازده لایه ناپایدار می‌شود. در سال ۲۰۰۴ یک گروه فیزیکدانان در دانشگاه منچستر به سرپرستی گایم<sup>۳</sup> و نووسلوف<sup>۴</sup> با استفاده از گرافیت سه بعدی (گرافیت از تک لایه‌های گرافین که روی هم، به طور ضعیفی کوپل شده اند تشکیل شده است) و با

Landau<sup>۱</sup>

Peierls<sup>۲</sup>

Geim<sup>۳</sup>

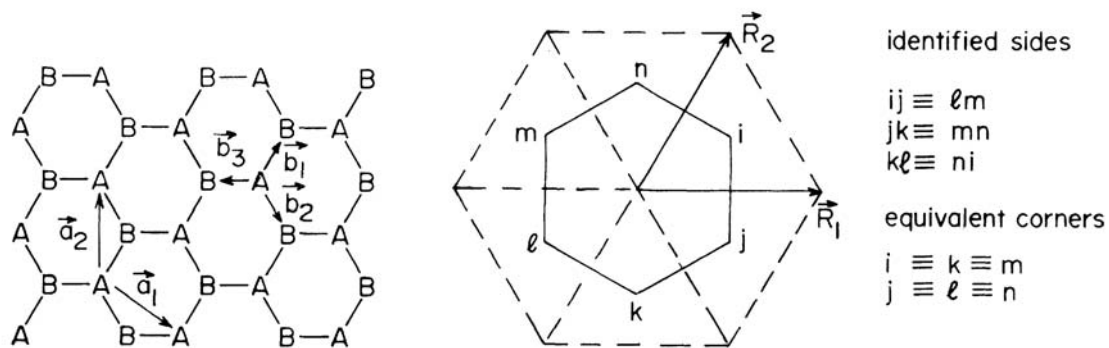
Novozelov<sup>۴</sup>

استفاده از روش «شکافت میکرومکانیکی»<sup>۵</sup> [۷، ۲] موفق به ساخت تک لایه گرافین شدند. این رویکرد نه چندان پیچیده به آسانی قادر به تولید بلورهای گرافینی بزرگ (بیشتر از صد میکرومتر) و البته با کیفیت بالا است به طوری که تراپر بالستیک [۳۳] و اثر کوانتموی هال (QHE)<sup>۶</sup> [۳۴، ۱۳] به سادگی در آن قابل مشاهده بود.

## ۲.۱ ساختار هندسی و طیف الکترونی

### ۱.۲.۱ ساختار هندسی

گرافین تک لایه ای از اتمهای کربن است، که همان طور که در شکل (۱.۱) نشان داده شده به صورت سلولهای شش ضلعی است که در کنار هم قرار گرفته اند و ساختار لانه زنبوری را تشکیل می دهند که این ساختار براوه نیست، اما می توان آن را به صورت یک شبکه مثلثی با پایه دو اتمی در نظر گرفت.



شکل ۱-۱) شکل چپ: شبکه لانه زنبوری که تشکیل شده است از دو زیر شبکه A و B با بردارهای شبکه  $a_1, a_2$ ، و زیر شبکه ها با بردارهای  $b_1, b_2, b_3$  به یکدیگر مربوط می شوند. شکل راست: منطقه بریلوئن و شبکه وارون با بردارهای شبکه  $R_1$  و  $R_2$ . نقاط تبھگنی در زوایای  $(ijklmn)$  از منطقه بریلوئن وجود دارد که دوتا از آن ها معادل نیستند [۳۵]

بردارهای شبکه را می توان به صورت  $a = \sqrt{2}a_0$  و  $a_0 = (\frac{\sqrt{3}}{2}, \frac{-1}{2})a$  نوشت که  $a_1 = (0, 1)a$  و  $a_2 = (\frac{\sqrt{3}}{2}, \frac{1}{2})a$  قرار

Micromechanical cleavage<sup>۵</sup>  
Quantum Hall Effect<sup>۶</sup>

گرفته اند و همچنین دو زیر شبکه  $A$  و  $B$  با بردارهای  $b_1 = (\frac{1}{2\sqrt{3}}, \frac{1}{2})$  و  $b_2 = (\frac{1}{2\sqrt{3}}, \frac{-1}{2})$  و  $b_3 = (\frac{-1}{\sqrt{3}}, 0)$  به هم مربوط می شوند. شبکه وارون نیز که در شکل نشان داده شده است یک شبکه لانه زنبوری با بردارهای شبکه بود. نقاط تبھگن  $(ijklmn)$  مرز ناحیه اول بریلوئن را مشخص می کند که ما دو نقطه  $R_1 = (\frac{4\pi}{\sqrt{3}a})(1, 0)$  و  $R_2 = (\frac{4\pi}{\sqrt{3}a})(\frac{1}{2}, \frac{1}{2}\sqrt{3})$  در  $\mathbb{R}^3$  را به عنوان دو نقطه غیر معادل در نظر می گیریم.

## ۲.۲.۱ طیف الکترونی

اتم کربن با عدد اتمی ۶ دارای طیف اتمی  $1s^2 2s^2 2p^2$  می باشد که در شبکه گرافین هر اتم کربن با هیبریداسیون  $sp^2$  با سه اتم مجاور خود پیوند کوولانسی  $\sigma$  تشکیل می دهد به طوری که الکترونها در این سه پیوند قویاً بین دو اتم جایگزینده اند بنابراین این الکترونها در رسانندگی گرافین نقشی ندارند. تنها الکtron اریتال  $p_z$  که عمود بر صفحه گرافین قرار دارد امکان جهش<sup>۷</sup> بین سایت های شبکه را دارد و فقط الکtron این اریتال در رسانش نقش دارد بنابراین با استفاده از روش بستگی قوی<sup>۸</sup>، فقط طیف نواری ناشی از این اریتال را بررسی می کنیم. در روش بستگی قوی که بر اساس ترکیب خطی اریتال های اتمی (LCAO<sup>۹</sup>) که دامنه آنها در فواصل اتمی کوچک باشد استوار است، هامیلتونی تک الکترونی ناشی از پتانسیل دوره ایی شبکه به صورت زیر است:

$$H = \frac{p^2}{2m} + \sum_{R,i} V_{at}(r - R - d_i) = H_{at} + \sum_{R \neq 0, i} V_{at}$$

که  $d$  مختصات دو اتم در داخل سلول واحد و  $V$  پتانسیل ناشی از بونهای شبکه می باشد. به دلیل دوره ایی بودن پتانسیل شبکه  $V(r) = V(r + R)$  (تفارن انتقالی<sup>۱۰</sup>) تابع موج الکترونی در داخل بلور، که باید شرط بلاخ را رعایت کند  $\psi(r + R) = e^{iK \cdot R} \psi(r)$ ، به صورت زیر نوشته می شود

---

Hopping <sup>۷</sup>	
Tight binding <sup>۸</sup>	
Leanier Combination of Atomic Orbital <sup>۹</sup>	
Translational Symmetry <sup>۱۰</sup>	

$$\psi_k(r) = \sum_R e^{ik.R} \varphi_n(r - R) \quad \varphi_n(R - r) = \sum_n \psi_n(r) \quad (1)$$

در گرافین چون به دنبال نوار انرژی ناشی از اریتال  $p_z$  هستیم و به دلیل این که در درون هر سلول واحد دو اتم کربن در مختصات 0 و  $d$  وجود دارد تابع موج الکترونی در درون شبکه گرافین به شکل زیر نوشته می شود

$\psi_k(r) = \sum_R e^{ik.R} (u\psi_{np_z}(r - R) + v\psi_{np_z}(r - R - d))$

با اعمال این تابع موج در معادله شرودینگر تک ذره ایی  $H\psi_k(r) = \varepsilon(k)\psi_k(r)$  و ضرب طرفین معادله در تابع موج  $\psi_m^*$  و انتگرال گیری روی کل سلول واحد و استفاده از رابطه زیر

$$\int \psi_m^*(r) H_{at} \psi_k(r) dr = \int (H_{at} \psi_m)^* \psi_k(r) dr = E_m \int \psi_m^*(r) \psi_k(r) dr$$

به رابطه زیر خواهیم رسید

$$(\varepsilon(k) - E_m) \int \psi_m^*(r) \psi_k(r) dr = \int \psi_m^*(r) \left( \sum_{R \neq 0, i} V_{at}(r - R - d) \right) \psi_k(r) dr \quad (2)$$

با جایگذاری  $\psi_k(r)$  و استفاده از رابطه تعامد توابع موج اتمی

$$\int \psi_m^*(r) \psi_n(r) dr = \delta_{mn} \quad (3)$$

$$(\varepsilon(k) - E_m) \int \psi_m^*(r) \left( \sum_R e^{ik.R} (u\psi_{np_z}(r - R) + v\psi_{np_z}(r - R - d)) \right) dr \\ = \int \psi_m^*(r) \left( \sum_{R \neq 0, i} V_{at}(r - R - d) \right) \left( \sum_R e^{ik.R} (u\psi_{np_z}(r - R) + v\psi_{np_z}(r - R - d)) \right) dr \quad (4)$$

$$(\varepsilon(k) - E_m) \int \psi_m(r)^*(u \sum_R e^{ik.R} \psi_{np_z}(r-R) + v \sum_R \psi_{np_z}(r-R-d)) dr \\ = \int \psi_m(r)^*(\sum_{R \neq 0, i} V_{at}(r-R-d))(u \sum_R e^{ik.R} \psi_{np_z}(r-R) + v \sum_R e^{ik.R} \psi_{np_z}(r-R-d)) \quad (5)$$

حال با داشتن انتگرال همپوشانی

$$\gamma = \int \psi_{p_z}(r)^* \psi_{p_z}(r-R-d) dr \quad (6)$$

وانرژی جهش <sup>۱۱</sup> بین اتمها

$$t = \int \psi_{p_z}(r)^* \Delta U(r) \psi_{p_z}(r-R-d) dr \quad \Delta U(r) = \sum_{R \neq 0, i} V_{at}(r-R-d) \quad (7)$$

می توان رابطه انرژی تکانه را بدست آورد. به دلیل این که انرژی جهش و همپوشانی برای همسایه های دوم در شبکه گرافین کوچک است می توانیم از تقریب همسایه اول استفاده کنیم و از اثرات همسایه های بعدی صرف نظر کنیم.

بعد از مقداری محاسبه می توان معادله ماتریسی زیر را برای دامنه های  $u, v$  نوشت.

$$\begin{pmatrix} \beta - \varepsilon(k) & (t - \gamma\varepsilon(k))f(k) \\ (t - \gamma\varepsilon(k))f(k)^* & -\beta - \varepsilon(k) \end{pmatrix} \begin{pmatrix} u \\ v \end{pmatrix} = 0 \quad (8)$$

که در آن  $f(k) = \sum_{i=1,2,3} e^{ik.b_i}$  تابع ساختار شبکه،  $b_1, b_2$  و  $b_3$  بردارهایی هستند که اندازه آنها برابر ثابت شبکه و رابط اتم مورد نظر و نزدیکترین همسایه ها هستند. با انتخاب مرجع صفر انرژی به طوری که

$$\beta = \int \psi_{p_z}^*(r) \Delta U(r) \psi_{p_z}(r) \quad (9)$$

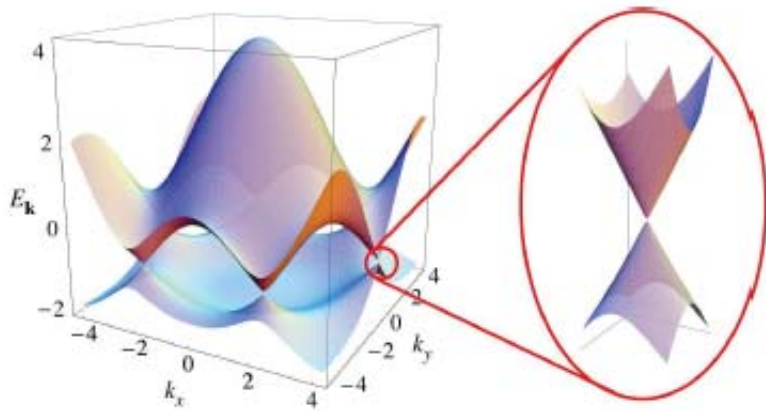
انرژی مربوط به قرار گرفتن یک الکترون در یک نقطه شبکه (یا زیر شبکه) صفر شود و نیز صرف نظر کردن از جمله  $\gamma\varepsilon(k)$  در حد انرژی های کم در مقابل  $t \simeq 2.8ev$  رابطه انرژی تکانه به صورت زیر می شود

$$\varepsilon(k) = \pm t |f(k)| = \pm t |e^{ik.b_1} + e^{ik.b_2} + e^{ik.b_3}| \quad (10)$$

علامت  $+$ ،  $-$  مشخص کننده نوار رسانش و ظرفیت است. شکل (۱-۲) ساختار نوار گرافین که در منطقه اول بریلوئن <sup>۱۲</sup> رسم شده است را نشان می دهد.

---

Hopping <sup>۱۱</sup>  
Brilloin zone <sup>۱۲</sup>



شکل ۱-۲) شکل چپ طیف انرژی، در منطقه اول بریلوئن برای مقدار  $t = 2.7ev$  و  $t' = 0.2t$  (انرژی جهش همسایه دوم است) و شکل راست بزرگنمایی طیف انرژی در نزدیکی نقطه دیراک است [۳۶].

تعداد حالتها (k های) مجاز در منطقه بریلوئن برابر تعداد سایتهاش شبکه مستقیم است [۳۷] و چون در هر سلول اولیه شبکه دو اتم وجود دارد و هر اتم یک الکترون در ساختار نواری به مشارکت می‌گذارد، با درنظر گرفتن اسپین واقعی الکترون، نوار پایینی (نوار ظرفیت) <sup>۱۳</sup> با انرژی های منفی کاملاً پر و نوار بالایی (نوار رسانش) <sup>۱۴</sup> با انرژی های مثبت خالی می‌ماند. جدایی نوارهای رسانش و ظرفیت در صفرهای تابع ( $k$ )، مینیمم خواهد بود که این امر در دو نقطه  $K = (\frac{4\pi}{\sqrt{3}a}, \frac{1}{2})$  و  $K' = (-K) = (\frac{4\pi}{\sqrt{3}a}, \frac{1}{2\sqrt{3}})$  (نقاط دیراک <sup>۱۵</sup>) یعنی محل اتصال نوار رسانش و ظرفیت اتفاق می‌افتد و انرژی فرمی دقیقاً در نقطه  $0 = (k)$  قرار می‌گیرد. نقاط دیگر در منطقه بریلوئن، همان طور که در شکل (۱) نشان داده شده است، چون با بردارهای شبکه وارون به این دو نقطه مربوط می‌شوند معادل این دو هستند. به این ترتیب گرافین یک نیمه رسانای بدون گاف می‌باشد.

### ۳.۱ برانگیختگیهای با انرژی کم و معادله دیراک

چون در مقابل محرک های بیرونی از جمله میدان الکتریکی و مغناطیسی ابتدا الکترون های سطح فرمی تحریک می‌شوند، بنابراین مشخصه های الکتریکی یک سیستم الکترونی را الکترون های حول سطح فرمی

Valence Band <sup>۱۳</sup>

Conduction Band <sup>۱۴</sup>

Dirac Point <sup>۱۵</sup>

مشخص می کنند، به این ترتیب در گرافین نیز فقط الکترون های این ناحیه برای ما اهمیت دارند. مطابق با ساختار نواری، برانگیختگیهای با انرژی کم تکانه شان حول نقاط  $K$  و  $K'$  اتفاق می افتد که این دو نقطه مخروطی شکل در منطقه بربلوئن را وادی<sup>۱۶</sup> می نامیم. بنابراین برای توصیف برانگیختگیهای با انرژی کم کافیست توابع موج  $u$  و  $v$  حول این دو نقطه مشخص کنیم یعنی  $u'(k) = u'(K' + \kappa)$  ،  $u(k) = u(K + \kappa)$  و  $v'(k) = v'(K' + \kappa)$  ،  $v(k) = v(K + \kappa)$  در حد پیوسته  $(a \rightarrow 0)$  با بسط تابع ساختار شبکه یعنی  $f(k) = f(K + \kappa)$  حول نقاط دیراک خواهیم داشت

$$f(K + \kappa) = \frac{\sqrt{3}}{2} a_0 (k_x + i k_y) \quad f(K' + \kappa) = \frac{\sqrt{3}}{2} a_0 (k_x - i k_y) \quad (11)$$

با جایگذاری روابط بالا در معادله ماتریسی رابطه پاشندگی انرژی به صورت خطی  $|k| = \hbar v_f |k|$  ، که سرعت فرمی یا سرعت گروه الکترون ها  $v_f = \frac{1}{\hbar} \frac{\partial \varepsilon(k)}{\partial k}$  است، خواهد شد. بنابراین برانگیختگیهای با انرژی کم الکترون ها (حالات های پر در نوار رسانش) یا حفره ها<sup>۱۷</sup> (حالات های خالی در نوار ظرفیت) جرم موثر صفر خواهند داشت [۳۵، ۳۸]. بنابراین اگرچه سرعت فرمی از سرعت نور خیلی کوچکتر است ( $c \ll v_f$ ) ولی چنین برانگیختگی های بدون جرمی بوسیله یک معادله موج کوانتوم مکانیکی نسبیتی موسوم به معادله دیراک<sup>۱۸</sup> توصیف می شود که تبدیل فوریه آن در فضای مکان به شکل زیر خواهد بود [۳۹].

$$-i\hbar v_f \begin{pmatrix} 0 & \partial_x - i\partial_y \\ \partial_x + \partial_y & 0 \end{pmatrix} \begin{pmatrix} u \\ v \end{pmatrix} = \varepsilon \begin{pmatrix} u \\ v \end{pmatrix} \quad (12)$$

دو مولفه  $u$  و  $v$  دامنه توابع موج  $ue^{ik_r}$  و  $ve^{ik_r}$  روی زیر شبکه های A و B را می دهند. با توجه به این که جهش نزدیکترین همسایه در شبکه گرافین زیر شبکه A را فقط با زیر شبکه B کوپل می کند بنابراین عملگر دیفراسیلی نیز همین خاصیت را دارد. با استفاده از عملگر تکانه در صفحه  $x - y$ ،  $p = -i\hbar(\partial_x, \partial_y)$  و ماتریس های پائولی  $\sigma = (\sigma_x, \sigma_y, \sigma_z)$  که روی اسپینور  $(u, v) = \psi$  عمل می کند معادله دیراک به صورت فشرده زیر

Valley<sup>۱۶</sup>

Hole<sup>۱۷</sup>

Dirac Equation<sup>۱۸</sup>

نوشته خواهد شد.

$$v_f(p.\sigma\psi) = \varepsilon\psi \quad (13)$$

به دلیل دو مولفه ای بودن تابع موج  $\psi$  درجه آزادی اسپینی توصیف شده بوسیله ماتریسهای پائولی را شبه اسپین ۱۹ می نامیم. معادله موج بالا حالت های با بردار موج  $k$  در وادی  $K$  را توصیف می کند. وادی در گوشه مقابل منطقه بریلوئن، یعنی  $'K$ ، یک دسته حالت های مستقل دیگر با دامنه های  $'u$ ،  $'v$  را روی زیر شبکه های  $A$ ،  $B$  توصیف می کند که آن ها نیز از معادله ای شبیه معادله بالا پیروی می کنند با این تفاوت که  $-p_x \rightarrow p_x$  تبدیل می شود، بنابراین اسپینور چهار مولفه ای  $(u, v, u', v') = \psi$  که شامل هر دو وادی  $K$ ،  $'K$  می باشد از معادله چهار بعدی زیر پیروی می کند.

$$\begin{pmatrix} v_f(p.\sigma) & 0 \\ 0 & v_f(p.\sigma)^* \end{pmatrix} \psi = \varepsilon\psi \quad (14)$$

این معادله دیفرانسیل حد انرژی های پایین و طول موج های بلند در مدل بستگی قوی را نشان می دهد. هامیلتونی فوق متناظر هامیلتونی دیراک برای فرمیون های بدون جرم دو بعدی می باشد [۳۵، ۴۰] که در آن سرعت نور با سرعت فرمی جایگزین شده است. به این دلیل معادله (۱۴) را معادله دیراک و نقاط  $'K$ ،  $K$  را نقاط دیراک ۲۰ می نامند این ویژگی همانندی با فرمیون های بدون جرم دیراک اصولاً از تقارن های شبکه بلوری گرافین ناشی می شود [۴۱] و به تقریب نزدیکترین همسایه وابسته نیست.

چیزی که تحقیق روی گرافین را جذاب می کند این است که طیف آن خیلی شبیه به طیف دیراک برای فرمیون های بدون جرم دیراک است [۳۵، ۴۲]. معادله دیراک ذرات کوانتموم نسبیتی با اسپین  $\frac{1}{2}$  مانند الکترون ها را توصیف می کند. خصوصیت اساسی طیف دیراک امکان وجود پادذرات است، که از اصول موضوعه مکانیک کوانتمومی و نظریه نسبیت به دست می آید. به طور خاص، حالات با انرژی های مثبت و منفی (الکترون ها

---

Pseudospin ۱۹  
Dirac Point ۲۰

اسپینوری توصیف می شوند. این خصوصیت اساسی معادله دیراک اغلب به مقایسه همیوگ — بارشناخته می شود.

۴۰۱ شرایط مرزی

در اتصال های گرافینی چون بیشتر از نوارهای گرافینی<sup>۱</sup> استفاده می شود ما نیز توجه خود را به شرایط مرزی در نوارهای گرافینی که از یک سو به الکترودها و از سوی دیگر بالبه های هندسی متفاوتی محدود شده معطوف می کنیم. اصولاً دو نوع لبه موسوم به زیگزاگ<sup>۲۲</sup> و صندلی شکل<sup>۲۳</sup> وجود دارد که منجر به خواص الکترونی متفاوتی برای نوار گرافینی می شود [۱۴] که منشأ این تفاوت در مدل پیوسته ای است که ما بر اساس روش بستگی قوی بنا کرده ایم که در آن توابع موج روی هر لبه به صورت ترکیب خطی تابع موج روی وادی  $K, K'$  می باشد [۴۳].

$$\begin{aligned}\psi_A(R_A) &= u_A(R_A)e^{ik \cdot R_B} + u'_A(R_A)e^{ik' \cdot R_A} \\ \psi_B(R_B) &= u_B(R_B)e^{ik \cdot R_B} + u'_B(R_B)e^{ik' \cdot R_B}\end{aligned}\quad (15)$$

برای نوار گرافینی با لبه های زیگزاگ در بالا و پایین همان طور که در شکل نشان داده شده است اتمها متعلق به یک زیر شبکه هستند (لبه بالا متعلق به زیر شبکه A و لبه پایین متعلق به زیر شبکه B است) بنابراین روی هر لبه،  $\psi_A$  یا  $\psi_B$  باید برابر صفر شود، بنابراین مثلا در  $y = 0$  باید  $\psi_A = 0$  یعنی توابع پوش  $u_A = u'_A = 0$  و در لبه دیگر،  $w = w_B = 0$  باید  $\psi_B = 0$  باشد یعنی توابع پوش  $u_B = u'_B = 0$  بنابراین به طور کلی برای نوار با لبه زیگزاگ خواهیم داشت

$$u_A(y=0) = u'_A(y=0) = 0 \quad u_B(y=w) = u'_B(y=w) = 0 \quad (11)$$

Strip Graphene 11

## Zigzag ۲۲

Armchair ۲۳